

• [日]今井三喜 等著  
• 钱旭久 译  
• 李旦生 白凤阁 校

# 循环及呼吸功能测定 正常值及预测式

安徽科学技术出版社

〔日〕今井三喜 等著

周玉生等译

# 循环及呼吸功能测定正常值及预测式

钱旭久 译

李旦生 校

白凤阁

安徽科学技术出版社

责任编辑：王 颖

# 循环及呼吸功能测定正常值及预测式

今井三喜著

钱旭久译

安徽科学技术出版社

## 循环及呼吸功能测定正常值及预测式

〔日〕今井三喜 等著 钱旭久 译

\*

安徽科学技术出版社出版

（合肥市九州大厦八楼）

新华书店经销 安徽新华印刷厂印刷

\*

开本：787×1092 1/16 印张：15 字数：382,000

1989年6月第1版 1989年6月第1次印刷

印数：00,001—4,000

ISBN 7-5387-0169-0/R·25 定价：4.40元

## 目 录

### 上篇 循环部分

一、心脏和大血管形态学测定值	3
I. 心脏重量	3
II. 心脏瓣膜口径	4
III. 主动脉周径随年龄的变化	5
二、心脏和主动脉的X线测定值	6
I. 心脏大小的测定	6
II. 主动脉的测定	8
三、心脏和大血管的CT测定值	10
四、心脏和大血管造影测定值	13
五、心脏和大血管超声波测定值	15
六、心脏和大血管放射性同位素测定值	18
I. 心放射图	18
II. 心肌闪烁扫描	19
III. 心放射性同位素血管造影	20
七、心音图	22
I. 第Ⅰ心音	22
II. 第Ⅱ心音	22
III. 第Ⅲ心音	23
IV. 第Ⅳ心音	23
V. 其他心音	24
VI. 正常心杂音	24
八、循环血容量	25
I. 循环血容量的测定	25
I. 正常值	27
九、心输出量	30
十、心内压	36
十一、静脉压	37
I. 0压标准点	37
II. 末梢静脉压	38
III. 中心静脉压	38
十二、收缩期心时相	42
I. 左室收缩时相	42
II. 右室收缩时相	46

十三、左心室舒张期力学特性	47
I. 舒张速度指标	48
II. 舒张期心室张力指标	49
III. 结束语	51
十四、脉波	52
I. 动脉波	52
II. 静脉波	54
十五、心率	55
I. 安静时的心率	55
II. 心率随年龄和性别变化	55
III. 安静时心率分布	56
IV. 心率在一天中的变化	56
V. 最大运动负荷时的心率	57
十六、微循环	58
十七、脏器血液分布和血流分配	63
I. 与脏器血液循环有关的基础知识	63
II. 脏器血液量和血流分配	67
十八、循环时间	68
十九、脑循环动态	70
二十、冠脉循环动态	74
I. 笑气法	74
II. 放射性同位素法	74
III. 热稀释法	75
二十一、肺循环动态	76
I. 肺循环各有关项目的正常值	76
II. 肺内血流分布	77
III. 决定肺循环动态的被动因素和主动因素	77
IV. 年龄增加所引起的变化	78
V. 运动负荷所引起的变化	79
二十二、肾循环动态	80
I. 肾血管结构与容量	80
II. 肾血流量、肾内血流分布和肾血管阻抗调节	81
III. 肾循环调节	82
IV. 肾耗氧量	82
二十三、肝循环动态	85
I. 肝血流量	85
II. 门脉压	86
III. 药物、激素对肝循环的影响	87
二十四、肠管循环动态	89
二十五、四肢循环动态	92

三十一、四肢血压	脉搏搏动与血压	92
三十二、四肢血流量	脉搏搏动与血流量	92
三十三、四肢末梢血管阻抗	脉搏搏动与血流量	93
三十四、四肢动脉狭窄与血压和血流量	脉搏搏动与血流量	93
三十五、其他	脉搏搏动与血流量	94
三十六、淋巴动态	淋巴管的被动收缩	95
三十七、淋巴系统概要	淋巴管的被动收缩	95
三十八、淋巴流量	淋巴管的主动收缩	95
三十九、淋巴管的被动收缩	淋巴管的主动收缩	96
四十、淋巴管内压	淋巴管的主动收缩	96
四十一、淋巴液的组成	淋巴液的组成	97
三十七、踝部的压力指数	踝部的压力指数	99
三十八、测定原理	测定原理	99
三十九、测定方法	测定方法	99
四十、正常值	正常值	100
四十一、PI的变化及其临床意义	PI的变化及其临床意义	100
三十八、同位素清除法	同位素清除法	102
三十九、皮肤血流量	皮肤血流量	102
四十、皮下脂肪血流量	皮下脂肪血流量	102
四十一、肌肉血流量	肌肉血流量	103
四十二、结束语	结束语	104
三十九、胎儿和新生儿循环	胎儿循环	105
四十、胎儿循环	胎儿循环	105
四十一、出生前后循环动态变化	出生前后循环动态变化	107
四十二、新生儿循环	新生儿循环	108
三十、血液的物理性状	血液的物理性状	112
三十一、血液的比重	血液的比重	112
三十二、血液悬浮稳定性	血液悬浮稳定性	112
三十三、血液流动特性	血液流动特性	113
下篇 呼吸部分		
三十一、肺的形态学测定值	肺的形态学测定值	117
三十二、肺泡系统的分支	肺泡的形态学测定值	117
三十三、肺泡的立体结构	肺泡的立体结构	118
三十四、与肺泡有关的形态学测定值	与肺泡有关的形态学测定值	118
三十五、与肺泡毛细血管有关的形态学测定值	与肺泡毛细血管有关的形态学测定值	119
三十六、结束语	结束语	119
三十二、气管的形态学测定值	气管的形态学测定值	120
三十三、基础理论	基础理论	120

I. 气管测定值	121
三十三、肺活量、最大肺活量和百分肺活量	127
I. 肺活量和最大肺活量	127
II. 肺活量、最大肺活量和百分肺活量的预测式	127
III. 正常值的选择	129
IV. 结束语	130
三十四、肺容量	131
I. 肺容量的组成	131
II. 肺容量各组成量的平均值及其随年龄和性别变化	131
III. 肺容量各组成量的正常值预测式	132
IV. 影响肺容量的因素	133
三十五、功能残气量、残气量和残气率	135
I. FRC、RV和RV/TLC的预测式	135
II. RV、FRC和RV/TLC与吸烟的关系	136
III. 由体位引起的肺容量的变化	136
三十六、t秒量、最大呼吸速度和最大中间呼吸速度	138
I. FEV <sub>1</sub> (L)的预测式	138
II. FEF <sub>200~1200m</sub> (L/s)的预测式	140
III. FEF <sub>25~75%</sub> (L/s)的预测式	140
三十七、呼吸死腔	142
I. 解剖死腔	142
II. 生理死腔	144
三十八、摄氧量、二氧化碳排出量和分时肺泡换气量	145
三十九、呼吸道阻抗	149
I. 呼吸道阻抗	149
II. 呼吸道阻抗与疾病的关系	150
四十、呼吸阻抗	151
I. 测定原理	151
II. 测定方法	152
III. 正常值	152
IV. 临床分析注意事项	153
四十一、静态肺顺应性	154
I. 肺顺应性	154
II. 胸腔内压的测定	154
III. 肺容量的测定	154
IV. 静态肺顺应性的测定法	155
V. 静态肺顺应性的正常值	155
VI. 静态肺顺应性值的临床意义	155
VII. 结束语	156
四十二、动态肺顺应性	157

I. 临床分析基础知识	157
II. 标准值	159
III. 结束语	160
四十三、表面张力	161
四十四、 $\Delta N_2$	163
I. 一次呼吸法和 $\Delta N_2$	163
II. 多次呼吸法、 $N_2$ 洗出指数和 $\Delta N_2$	165
四十五、流量曲线	168
I. 方法	168
II. 结果	168
III. 讨论	170
四十六、胸壁换气力学	171
I. 胸壁力学分布	171
II. 胸壁静力学	171
III. 胸壁动力学	172
IV. 助骨系统和腹壁系统	172
V. 横膈膜	173
VI. 最大呼吸肌力	174
四十七、呼吸道封闭压	175
四十八、二氧化碳和氧的换气反应	178
四十九、封闭容量	181
五十、一氧化碳肺扩散能力	183
五十一、动脉血氧分压和动脉血二氧化碳分压	186
I. 动脉血氧分压	186
II. 动脉血二氧化碳分压	187
五十二、肺泡气-动脉血气体分压差	188
五十三、pH、 $[HCO_3^-]$ 和碱超	190
I. 动脉血	190
II. 脑脊液	192
五十四、氧合血红蛋白离解曲线和 $P_{50}$	193
I. 氧合血红蛋白离解曲线的标准值	193
II. ODC的表达式	194
III. pH、BE和温度不同时的带入方法	194
IV. $P_{50}$ 值	195
V. DPG浓度和 $P_{50}$	196
五十五、心输出量、分流血量、肺接触时间和循环时间	197
I. 心输出量	197
II. 分流血量	197
III. 肺接触时间	199
IV. 循环时间	199

五十六、肺血管外水分量和肺内血液量	200
I. 直接重量法	200
II. 间接法	200
五十七、混合静脉血	203
I. 年龄和 $\bar{P}_{vo_2}$	203
II. 运动负荷时 $\Delta P_{co_2}$ 的计算公式	203
III. 用右心导管法测定的有关值	203
IV. $\bar{P}_{vo_2}$ 和 $\Delta \bar{P}_{co_2}$	204
V. 高原居住者的 $\bar{P}_{vo_2}$ 、 $\bar{P}_{co_2}$ 和 $\bar{S}_{vo_2}$	205
VI. $\bar{S}_{vo_2}$ 的推断式	205
VII. 运动负荷时混合静脉血温度变化	206
五十八、气体的溶解度和扩散系数	207
I. 溶解度	207
II. 扩散系数	211
五十九、体位	215
I. 肺容量的变化	215
II. 肺的气体交换, $V_{o_2}$ 的变化	217
III. 肺内气体分布的变化	217
IV. 呼吸死腔的变化	218
V. 扩散功能的变化	219
VI. 肺循环的变化	219
六十、临床运动负荷试验	221
I. 负荷量与耗氧量的关系	221
II. 耗氧量与小时换气量的关系	221
III. 呼气性代谢阈值	222
IV. 最大摄氧量	222
V. 最大心率数	223
VI. 氧脉	224
VII. 气体交换	225
六十一、呼吸道的敏感性和反应性试验	226
I. 呼吸道对呼吸道刺激剂的敏感性	226
II. 呼吸道对抗原的敏感性	230
III. 结束语	231

上 篇

---

## 循 环 部 分



# 一、心脏和大血管形态学测定值

——今井三喜

## I. 心脏重量

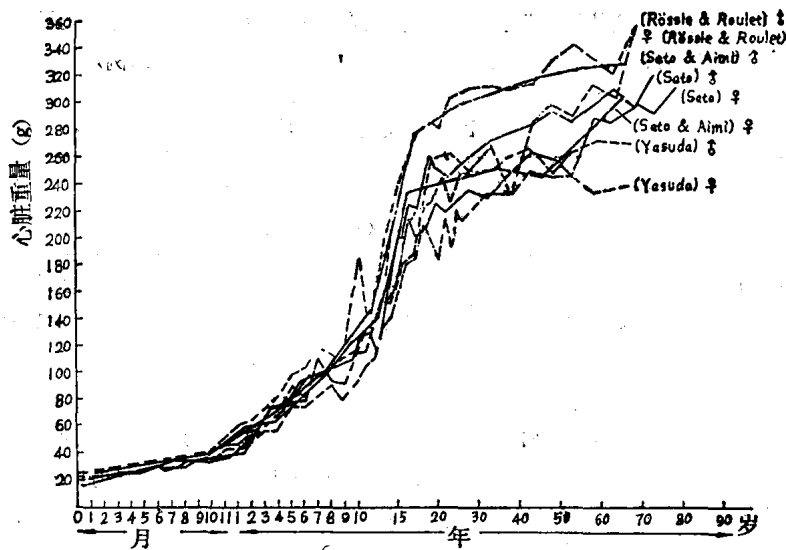


图1-1 心脏重量和年龄的关系

表1-1 心脏重量及其与体重的比值随年龄的变化(根据1976~1981年外因性猝死的解剖病例统计的资料,男233例,女102例)

年龄(岁)	男		女	
	心脏重量(g)	心脏重量/体重(%)	心脏重量(g)	心脏重量/体重(%)
20~29	325.2±37.3	0.583±0.066	252.0±33.3	0.528±0.071
30~39	337.7±43.9	0.623±0.083	263.8±35.8	0.568±0.091
40~49	346.3±51.0	0.659±0.104	286.7±56.9	0.627±0.096
50~59	334.3±67.5	0.681±0.094	282.8±79.1	0.634±0.124
60~69	339.6±46.4	0.700±0.084	295.7±15.1	0.652±0.046
70~	328.9±41.4	0.705±0.094	277.9±90.2	0.705±0.093

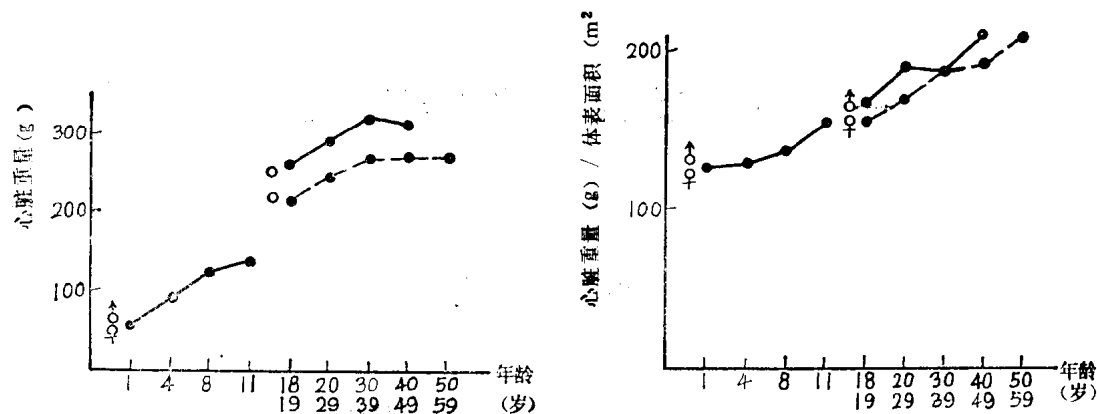


图1-2 心脏重量及其与体表面积的比值随年龄的变化(根据东京女子医科大学第一病理室  
1960~1981年急性疾患死亡的解剖病例统计的资料, 105例)

表1-2 心室各部位重量

报道者	左心室 (L.V.) (g)	室间隔 (V.S.) (g)	右心室 (R.V.) (g)	$(L.V.+V.S.)$	
	L.V./R.V.	R.V.			
Rossle和Roulet (1932)	男88.0 女85.8	男65.5 女58.8	男49.7 女47.1	男1.77 女1.82	
Fulton等 (1952)	86 (190g)	39	46 (65g)	1.9	(2.3~3.3)
Reiner等 (1959)	男94 女67 (男83 女54)*	男64 女49 (男51 女42)	男46 女33 (男43 女25)	男2.0 女2.0 (男1.9 女2.5)	男3.4 女3.5 (男3.2 女4.0)
Hosoda和Sugano (1964)	60	44	31	1.9	3.4
Imai** (1981)	男114 女 94		男39 女32		男2.9 女2.9

\* 瘦者 \*\* 取样心脏: 男17例, 女13例。平均心脏重量: 男323g, 女275g。 $(L.V.+R.V.+V.S.)/全心重量$ : 男0.56, 女0.46。

## II. 心脏瓣膜口径

表1-3 心脏瓣膜口径(单位: mm)

瓣 膜	Saphir(1958)	Gould(1960)	Imai*(1982)	
	平均值	范围	男	女
主动脉瓣	75	70~80	62	57
肺动脉瓣	85	80~85	68	63
二尖瓣	110	90~110	87	81
三尖瓣	120	110~130	101	94

- ①用基本属于正常成年人的心脏(男250~350g, 女200~300g)。
- ②重量相等的心脏, 主动脉(A)瓣口径、肺动脉(P)瓣口径均随年龄增长而增大。
- ③主动脉(A)瓣口径与肺动脉(P)瓣口径的关系: 小于30岁者A<P或A=P, 但40岁、50岁者约25% A>P, 该百分比随年龄增长而增大。

### III. 主动脉周径随年龄的变化

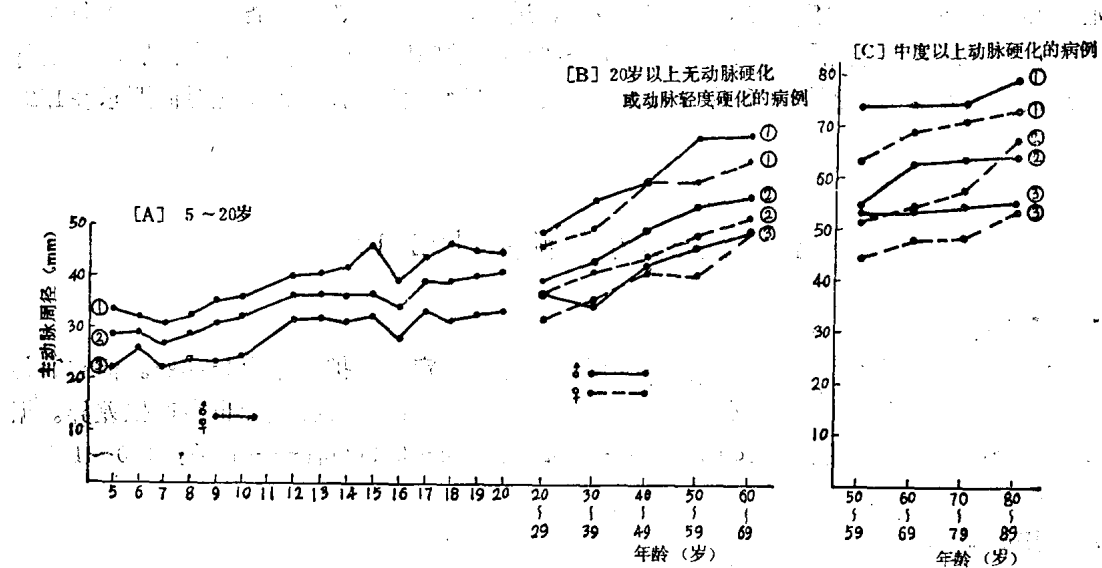


图1-3 主动脉周径随年龄的变化

①主动脉弓(顶部)。②胸主动脉(位于第八胸椎动脉分支处附近)。③腹主动脉(内脏动脉分支处上方)。

本资料是除外心血管疾病和心血管负荷异常者350例解剖资料统计所得。主动脉周径随机体生长发育而增大, 同时也随着本身老化而增大。50岁以下即使动脉内膜没有硬化性变化, 但由于血管中层弹性降低, 血管亦发生扩张([B])。[A]组病例因例数较少(80例), 故稍有误差。(各报道者在测定数据上的差异, 必须考虑到是由于他们病例选择方法、病例数、心脏摘出、计量方法等收集资料手段各有不同所致。)

## 二、心脏和主动脉的X线测定值

——松山正也

心脏和主动脉的X线测定方法，目前有多种。进行X线测定，必须具备一定的摄影条件。一般要求：①X线管焦点和X光片之间应有180~210cm的间距，以施行远距离摄影。②须行立位、后前位及左右方向摄影。③应于安静时行中等度吸气位摄影。④曝光时间要求在1/20秒内。

### I. 心脏大小的测定(图2-1)

#### 1. 心脏横径(T)

对于成人，胸厚度符合一般平均值者采用上述方法测定，其扩大率为4~6%。但它容易受横膈的高度和体型(横位心和主位心)影响。心跳动位相不同，心脏横径也会产生差异。据Gammill等介绍，其差异为：0.3cm以内者——52%，0.4~0.9cm者——41%，1.0~1.7cm者——7%。

#### 2. 心脏纵径(L)

右心房和上腔静脉的交点至心尖部的一段距离即为心脏纵径。一般它比横径大10%，这种增大主要是左心室扩大所致。这种测定方法的缺点是测定点难找。与其单独使用其值，倒不如将它作为计算心面积的一个指标来使用。

#### 3. 心脏宽径(B)

系指向心脏纵径引一直角的最大宽径。通常它等于左心室最上缘和右心房下缘与横膈膜交点的距离。然而，在心脏形态异常时，它等于从心脏纵径线到左心和右心的最大垂直距离之和。心宽径一般比横径小15%。在心宽径测定点的确定中，有人将左心缘作为肺动脉和左心耳的交点。

#### 4. 心脏深径(D)

连结心脏最后缘和最前缘的水平距离即为心脏深径。前后缘往往难以确定。心深径用于心容积的计算。

#### 5. 心胸比例(Cardiothoracic ratio)

为心横径与胸廓内径的比。胸廓内径的算法有两种：一种是采用胸廓最大内径，另一种是以右横膈膜位作为胸廓内径。成人一般标准最大为0.5。但就正常人来说，超过0.5者相当多，因此最大正常值可为0.55。

婴幼儿的心胸比，易受摄影条件影响，而且年龄不同，心胸比亦显著不同。婴幼儿的心胸比达0.57以上者有时亦属病态，但一般最大正常值可达0.65。

#### 6. 心面积(A)

可用面积计来测量，也可用 $L \times B \times 0.735$ 计算方法求出。计算上的正常允许误差为±32%。

#### 7. 心容积(V)

在心脏测定中，心容积测定是最可靠的。其缺点是测定方法繁杂。可用  $A \times D \times 0.63$  或  $L \times B \times 0.45$  公式求出。目前提倡通过各种测定方法求得它。

表2-1和表2-2分别为Amundsen(成人)和Mannheimer(小儿)的心容积测定值。

表2-1 正常心容积(成人)(A)和平均单位体表面积的容积(B)(ml/m<sup>2</sup>)

	(A)平均	(B)平均±2SD~3SD*
男	420±40	500~540
女	370±40	450~490

\* 超过“平均+2SD~3SD”者拟为心脏扩大，超过这个数值的占正常人的3%。

表2-2 小儿正常心容积

年 龄	单位体表面积的 心容积(ml/m <sup>2</sup> )	平均标准差
0~30天	196	22.6
30~90天	217.8	33.9
90~360天	282	35.8
1~2岁	295	30.4
2~4岁	304	41.5
4~7岁	310	36.2
7~9岁	324	28.6
9~12岁	348	33.6
12~14岁	369	53.8
14~16岁	398	61.9

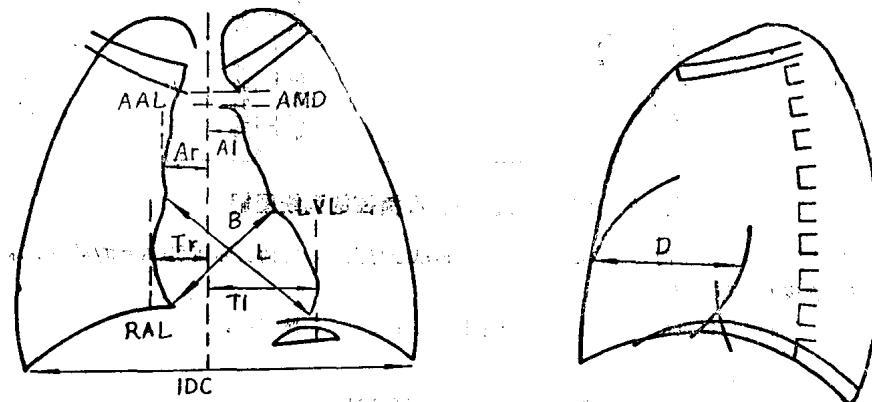


图2-1 心脏和主动脉测定

T: 心横径, = Tr+Tl; CTR: 心胸比例, = (Tr+Tl)/IDC

L: 心纵径; B: 心宽径; IDC: 最大胸廓内径

LVL: 左室最外缘, 横膈膜内侧1/2以内; D: 心深径

Ar+AI: 主动脉径; RAL: 右房最外缘, 横膈膜内侧1/3以内

AAL: 不超过RAL; AMD: 胸骨柄上缘至主动脉弓间距离1cm以上

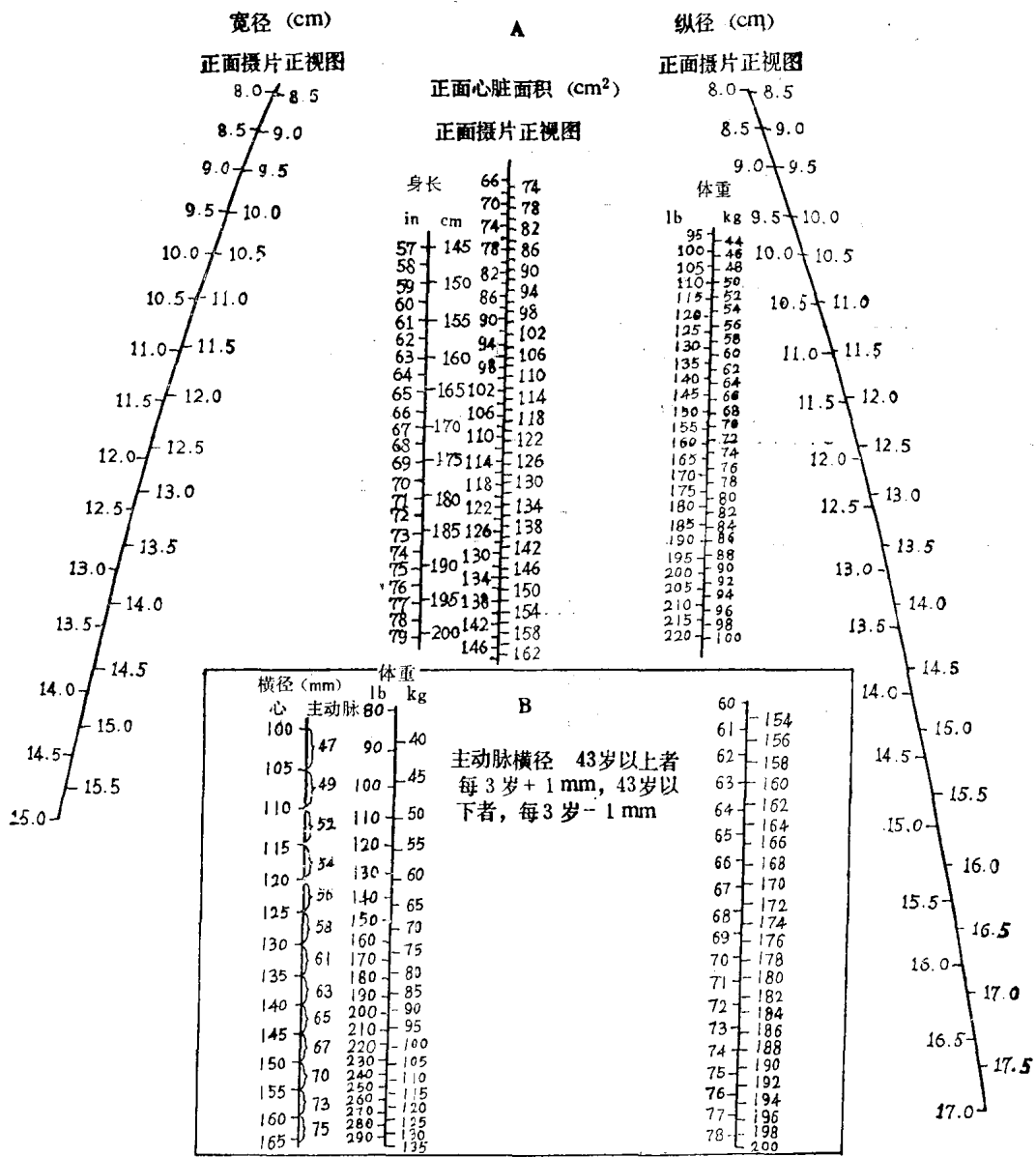


图2-2 心脏正面面积和心横径的列线图解

A. 根据体重和身长所得的设想，心脏面积及根据纵径与宽径所得的实际面积( $A = \pi/4L \times B$ )，  
正向图表及远距离摄影。

B. 根据体重和身长推想出的远距离摄影照片上的心横径与主动脉横径。

## II. 主动脉的测定

虽然曾有人试图通过食管造影，根据主动脉弓上面的弧状压迹来计算主动脉的直径，但造影中的压迹常受到食管壁和纵隔组织的影响，所以所求得的管径数需要进一步校正。实际测得值为2.8~3.2cm。

此外，尚可分别求出正中线至主动脉弓和右上纵隔外缘的间距，以两者之和作为衡量主